

## IV-7 高張力鋼の疲労強度によよす溶接熱量または 残留応力の影響について

東京大学工学部 正員 工博 奥村敏惠

序言 近時塑性設計(局限設計)の発達にともなって、構造物の耐力を明確にする必要にせまられている。このことは従来漠然と考えていた事象について、もっと厳密に考へねばならないことを意味している。このような点より溶接構造を眺めると、色々複雑な要素がありこんでいることを感する。また脆性破壊 疲労破壊など、従来のリベット構造ではそれほどきびしくなかつたものも溶接構造では色々な問題を提供している。さて構造物、破壊は、その起源となる亀裂。発生と、その亀裂の傳播の二つの現象に分析される。

溶接部に与えられた缺陷または構造上の切欠の存在のまゝには応力集中を生じ、それによって生ずるエネルギーが材料として貯えられるエネルギー、たとえば表面張力によるエネルギーまたは塑性加工のエネルギーに打ちかつときは、これらの缺陷および切欠は核からうとする説である。これが亀裂の発生である。このように切欠が拡がると、より鋭い切欠となり、より高いエネルギーをより低い外力によって発生し、その拡がりはより容易になる。このようにして亀裂の傳播が促進される。通常切欠に対するほどより低い平均応力で亀裂の発生を生じ、若し使用材料の亀裂傳播に対する抵抗が低い場合には容易にその亀裂は傳播し、平均応力が高くならない内に破壊に至るわけである。このことは使用材料が有効につかはれていないことを意味する。この現象は脆性破壊、疲労破壊に見られる。

従つて溶接構造では、この亀裂の発生の原因を除去するよう努めると同時に、亀裂の傳播に対する抵抗の高い材料を選ぶようにならるべきである。一方溶接施工によつてもその特性が左右されるから、如何なる條件を満たさなければより安全であるが求めねばならない。また溶接構造に不可避な残留応力の舞についてもより厳密に考慮する必要がある。

筆者は最近特にその需要が増し、冶金学的にはH<sub>2</sub>ガスの影響をきびくある低合金高張力鋼を使用して、溶接施工の影響に関する実験を行つた。以下これについて述べよう。

溶接熱量と Mn-Si高張力鋼の延性の関係。溶接熱によって生ずる板の温度分布に関しては従来多くの理論的、実験的研究がなされている。いま板の温度常数を温度に關して一定と假定すると、板の面上の一の直線(x軸に沿う)に沿つて同じ溶接速度でアーチ(熱源)が移動する場合板に生ずる温度分布①は次式で与えられる。

$$① = \frac{q}{2\pi Kf} e^{-\lambda vx} \left[ K_0(\lambda vt) + 2 \sum_{n=1}^{\infty} \cos \frac{n\pi z}{t} \cdot K_n \left\{ \lambda vt \sqrt{1 + \left( \frac{n\pi}{\lambda vt} \right)^2} \right\} \right]$$

ただし $q$ は熱源の強さ cal/sec,  $v$ は溶接速度 mm/sec,  $t$ は板厚,  $K$ は熱傳導率 cal/mm°C sec,  $\lambda$ は熱拡散率 mm<sup>2</sup>/sec,  $t = \sqrt{x^2 + y^2}$ ,  $K_n$ は第二種の modified Bessel function である。

いま現在の熱源の後方 $x (> 0)$ の位置の温度上昇を考えると、第一項は

$\frac{q}{2\pi Kf} e^{\lambda vx} K_0(\lambda vt) = \frac{1}{2\sqrt{\pi Kf \lambda v t}} \frac{q}{\sqrt{v t}}$ となり、 $q$ はI(溶接電流)に比例するから、 $I/\sqrt{v t}$ に比例することにある。すなわち板に生ずる温度上昇、すなわち結果的溶接熱量は状態に

よるものと見れば  $I/\sqrt{v}$  に比例するといえる。この見地に立って溶接施行の條件によつて材料の性質が如何に變るかを調べてみた。使用材料の性質は表-1に示す。本実験の目的として溶接部、溶接熱影響部を含め材料の延性熱影響部われの発生か溶接條件により如何に影響されるかを知る所があつた。われの目安として熱影響部の最高硬度(ビッカース)を選んだ。 $200 \times 400 \times 30$

表-1 (a) 化学分析値

C	Mn	Si	P	S	Cu	solAl	C+Mn%
0.15	1.20	0.44	0.014	0.019	0.18	0.05	0.35

(c) 機械的性質

降伏点 (kg/mm²)	引張強さ (kg/mm²)	伸び (%)	曲げ (180)
37.2	55.5	23.5	可

一端に直角に切断し、よく研磨したのち、顕微鏡組織を見ながら硬度を測定した。図-1

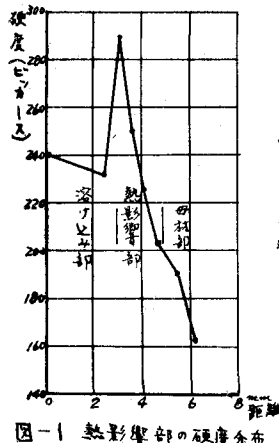


図-1 热影響部の硬度分布

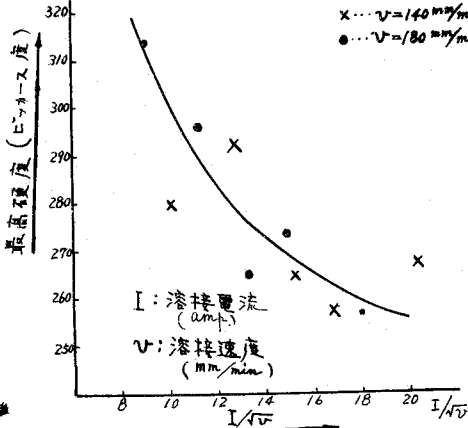


図-2 热影響部の最高硬度に及ぼす溶接條件の影響

自ずべきである。次に溶接部の延性をしうべる目安として、オーストリヤビード曲げ試験を選んだ。この試験は材料の溶接性を吟味するためには使用されており、その試験片の形状および試験の方法は図-3の添圖に示された通りである。またオーストリヤの規格によると、何等の亀裂なしに曲げ得る最大の曲げ角度として、板厚2.5mmに対しては $90^\circ$ (延性破壊)或は $50^\circ$ (脆性破壊)を合格の標準にしている。この基準を持ることは矛盾である。

この試験はビードの形狀にも関係するが、主として熱影響部の所謂延性とアンダービード亀裂の有無に關係するものと筆者は考へ、溶接條件の太さに及ぼす影響を材料的に調べるために試験を行つた。

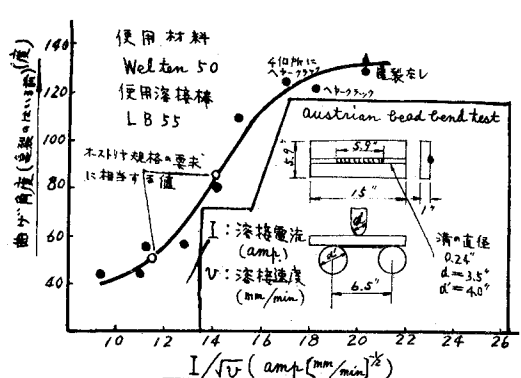


図-3 オーストリヤ曲げ試験と溶接熱量との関係

は硬度分布の一例、図-2は最高硬度が溶接條件によっていかに變るかを示したものである。明らかに  $I/\sqrt{v}$  が小となると急に最高硬度は上昇する。 $I/\sqrt{v} = 12$  がその限界と考えられる。また最高硬度の位置は、ビードの溶接部に完全に接した位置でその幅も約 0.2mm といつちごくせまい所に集中している。また以後の疲労試験においてもこのせまい所に亀裂の発生を見ていることは注

意すべきである。そこで、溶接條件の太さに及ぼす影響を材料的に調べるために試験を行つた。そこで LB 55 を用い、溶接工は同一人で出来るだけ同じ條件で溶接させた。溶接後 2 週間たつてから、曲げ試験を行つた。この試験結果を図-3 に示す。縦軸の値は亀裂なしに曲げ得る最大の曲げ角度、横軸の値はその試験片の溶接に用いた溶接條件を  $I/\sqrt{v}$  の形に計算して示したものである。溶接後十分時間あつて水素の拡散を期したのも拘らず、同じ材料に対し、溶接條

第3の実験はこのように溶接熱量による高張力鋼の延性が溶接後の時間の経過によつて

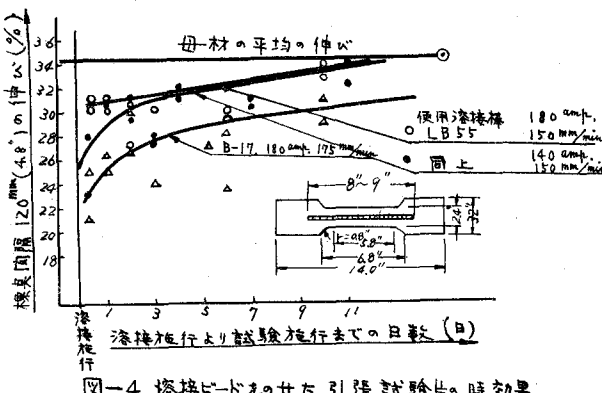


図-4 熔接ビードをせた引張試験片。時効処理

の低下を示すが、時の経過と共にその延性を回復する。低水素系溶接棒を用いたとき、全体として高い延性を示し2週間後には母材の値に回復するが、他の溶接棒は低い延性を示す。仲々回復しない。またその破壊状態もピードに直角を無数のひびわれを示す。水素の存在が延性に著しい影響を及ぼすことと言える。本法使用電流の高いほど延性(溶接直後)が大であり、水素の少ない方も多いといえる。  
 使用材料 I=180 安培

図-5はカバー-アーレートをかけた材の疲労強度によくばく接熱量の影響を示したものである。試験片としては最も疲労荷重に敏感なカバー-アーレートをかけた材を用いた。なお溶接条件、 $I/\sqrt{\text{cm}}$ として15, 11.2を採用したが、これには図-3の実験より得た2つのオーストリヤ規格の規準値の上と下に相当する溶接条件である。試験機は鉄道技術研究所の Losen-hausen を使用した。結果はその差は大きくはないが、明らかに  $I/\sqrt{\text{cm}}$  のため SS41 の値を示す。一般に溶接熱量のは有利な条件を与えることが言える。

残留応力の影響に関する実験。筆者はこの実験を行つたが図-6に示すよろを試験片を採用した。すなわち試験片に2すじの長手方向の溝をつくり枝立3つの部分にわけた。中央の部分は溶接を行ふ部分であり、側面の2つの部分は溶接中拘束する部材である。両者の断面積を同じとした。溶接後の被溶接部分の収縮は拘束部材によって抵抗を受け、この結果被溶接部分には引張のlocked-in stress、拘束部材には圧縮のlocked-in stressが生ずる。一方溶接部分には2箇所の弱点を持つ。すなわち本体の隅肉溶接前面(図-6 a)と添接材の隅肉溶接前面(図-6 b)である。共に前述の硬度の高い境界層を持つ、そこを通つて応力が流れている。筆者使用した試験片すべてを通じ、溶接順序を一定にし、a-a部分に

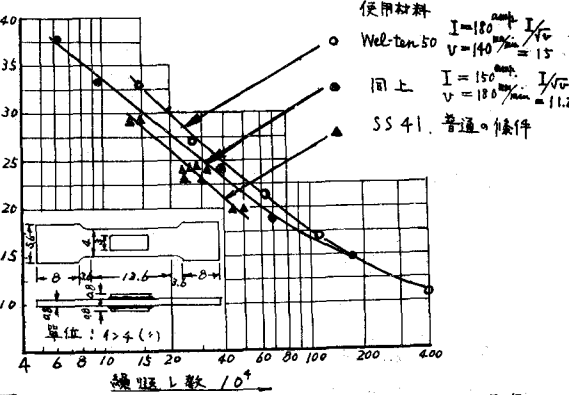


図-5 カバー-フレートをついた材の疲労強度に及ぼす三種類熱量の影響

には引張の残留応力を、ひじ部分には圧縮の残留応力を生ずるようにした。使用材料は U.S. Steel Co. でつくった A 242 Tri-Ten (表-2) であり、表-1 の国産のものと

は幾分異にし、Ni 成分を含有し、C + Mn% は幾分高い値を示した。

表-2(a) 化学分析値

C	Mn	P	S	Si	Cu	Ni	C + Mn%
0.20	1.08	0.010	0.025	0.10	0.38	0.60	0.38

表-2(b) 機械的性質

降伏強度 (kg/mm <sup>2</sup> )	引張強度 (kg/mm <sup>2</sup> )	伸び (%)	10 <sup>5</sup> 疲労限度 (kg/mm <sup>2</sup> )	2×10 <sup>6</sup> 疲労限度 (kg/mm <sup>2</sup> )
33.5	51.5	27	40.5	29.8

本試験機はイリノイ大学タルボット研究室のウイルソン型試験機(毎分 200

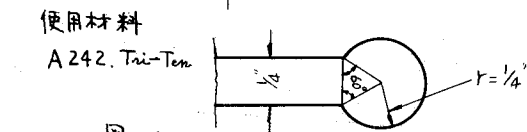


図-6 供試試験片の形状

回, 200,000 lb)を使用した。溶接前拘束材の4つの面に共知無線製のベーフライトベースのワイヤストレーンゲージをはりつけ、溶接中は石綿で保護し、溶接後のlocked-in stressを測定した。ほぼ溶接熱量に比例する値を示した。<sup>試験機にかけた</sup>溶接後aaおよびbb位所にもゲージをはりつけた。このようす準備をはさんだ後ゲージの零戻を調節し、疲労試験を開始した。 $10^3, 5 \times 10^3, 1.5 \times 10^4, 3 \times 10^4, 5 \times 10^4, 7.5 \times 10^4, 10^5, \dots$ とくりかえした後、試験機をとめて、そのときのゲージの零戻の動き、一定荷重に対する歪を測定した。特に $10^5$ 以上破壊に近づくにつれてやがて細かくこのようすを測定をくりかえした。すべての試験片を通じ、その測定値の繰り返し数による変化は全く同じであり、図-7に示す性質で表示されるものであった。すなわちa-a, b-b, これらも繰り返し数の比較的初期に於ては零戻は十側に移動し、これに対応して拘束材では一侧に移動する。これはaa, bb位所に残留歪が累積されることを示し、疲労核の発生を示す。この開始の時期Aはこの実験では(Bが約 $10^5$ 回に達する)  $10^5$ 位を示した。比較的初期に疲労核の発生を見る。疲労核が幾分拡大すると、

残留応力の關係で破れ、その符号と反対方向に零戻が移動し、圧縮残留応力のbb位所はますます十側に移動し、それにともない、一定荷重に対する歪の量も増大し、破壊に到る。このことは核の発生はともかくとして、その拡大傳播には残留応力が加權するといえる。これは破壊までの繰り返し数を早めるこことを意味し、図-8に示す性質を持つといえる。唯缺欠と残留応力の符号の組合に注目すべきである。

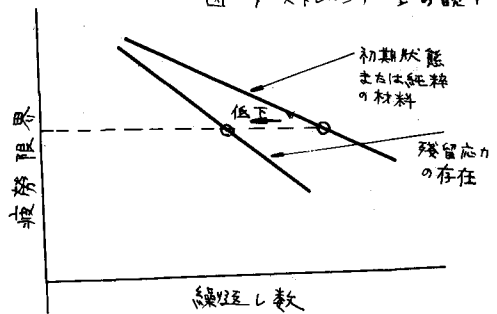


図-8 残留応力の存在による疲労限界の低下